

## β相 MoTe<sub>2</sub> の大型単結晶合成(2)

Synthesis of large-sized single-crystals of β-phase MoTe<sub>2</sub> (2)

埼玉大院理工 °森 拓哉、上野 啓司

Saitama Univ. °Takuya Mori and Keiji Ueno

E-mail: kei@chem.saitama-u.ac.jp

**【序論】** 金属を M (Mo, W, etc)、カルコゲンを Ch (S, Se, Te)としたとき組成式  $MCh_2$  で表される層状化合物群のことを遷移金属ダイカルコゲナイト(TMDC)という。その一つの MoTe<sub>2</sub> については、半導体性の  $\alpha$  相についての研究は数多く行われているが、半金属性である  $\beta$  相の研究は比較的少ない。本研究では化学蒸気輸送法(CVT)で単結晶成長を行う際の条件を工夫し、大型の  $\beta$  相 MoTe<sub>2</sub> (いわゆる 1T'-MoTe<sub>2</sub>) 単結晶合成を試みた結果を前回<sup>[1]</sup>に引き続き報告する。併せて、ラマンスペクトルの理論計算による解析についても紹介する。

**【実験】** MoTe<sub>2</sub> 単結晶は、TeX<sub>4</sub> (X = Cl, Br, I) もしくは MoCl<sub>x</sub> (x = 3, 5), 及び Mo, Te 粉末を原料とし、化学蒸気輸送法により成長した。その際、輸送剤となる X の量、及び結晶成長時に与える温度勾配を変化させ、最も大型の結晶が得られる条件を探査した。まず、X の質量が約 10 mg ~ 250 mg となるように Tex<sub>4</sub> (もしくは MoCl<sub>x</sub>) を秤量し、さらに総 Mo と総 Te の比が 1:2 となるように Mo と Te を秤量し、石英アンプル中に真空封入した。この石英アンプルを 3ゾーン管状炉に入れ、原料側が 960 °C、結晶成長側が 900 °C となるような温度勾配を 7 日間与えた。最後に石英アンプルを管状炉から取り出し、すぐに急冷し、高温安定相である  $\beta$  相の単結晶を得た。得られた単結晶の評価は、ラマン分光、X線回折、X線光電子分光測定により行った。また、Quantum ESPRESSO<sup>[2]</sup>による DFT 計算も行い、 $\alpha$  相と  $\beta$  相のラマン振動モードを調べた。

**【結果・考察】** 得られた結晶のラマンスペクトル (励起レーザー波長 532 nm) を Fig. 1 に示す。ラマンシフト 112.4 cm<sup>-1</sup>, 128.9 cm<sup>-1</sup>, 261.3 cm<sup>-1</sup>, 165.1 cm<sup>-1</sup>, 194.5 cm<sup>-1</sup> にピークが観測され、既報告<sup>[3]</sup>の  $\beta$  相 MoTe<sub>2</sub> ラマンスペクトルの A<sub>g</sub> モード, B<sub>g</sub> モードと一致し、DFT 計算結果も概ね一致した。このラマン分光測定に加えて、X 線回折測定からも  $\beta$  相 MoTe<sub>2</sub> 単結晶の成長が確認された。Fig. 2 に、Br 輸送剤量を 250 mg および 10 mg として成長した  $\beta$  相 MoTe<sub>2</sub> 単結晶の写真を示す。Br 輸送剤の添加量を少なくする方が、より大型の単結晶を合成できることが分かった。Fig. 3 に I 輸送剤と Cl 輸送剤を 50 mg として成長した  $\beta$  相 MoTe<sub>2</sub> 単結晶の写真を示す。I 輸送剤と Cl 輸送剤を用いた時には、それぞれ輸送剤量が 50 mg の時に、平坦表面が最も広い結晶が合成された。これまでのところ、Cl 輸送剤が 50 mg の時に、最も大きな平板単結晶が得られている。

**【参考文献】** [1] 森、上野 : 2019 年秋応物、21a-PB1-74.

[2] P. Giannozzi et al., *J. Phys.: Condens. Matter*, **2009**,

21, 395502. [3] Sera Kim et al.: *2D Mater.*, **2017**, 4, 024004.

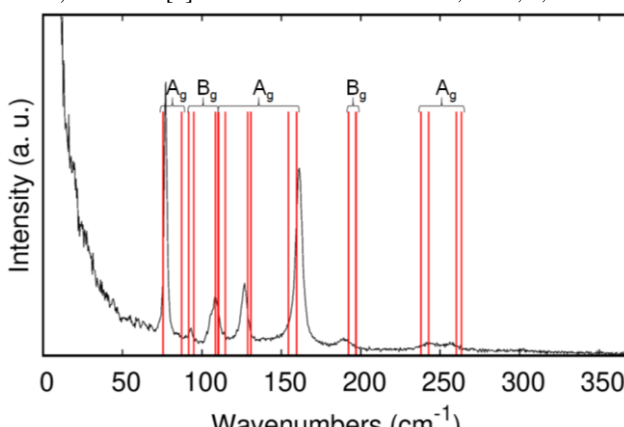


Fig. 1 Raman spectrum of the  $\beta$ -MoTe<sub>2</sub> crystal grown by CVT and calculated Raman active modes of  $\beta$ -MoTe<sub>2</sub> (red lines).

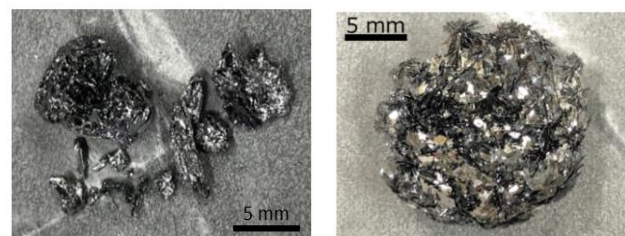


Fig. 2 Optical images of the  $\beta$ -MoTe<sub>2</sub> crystal grown by CVT using 250 mg (left) and 10 mg (right) Br as a transport agent.

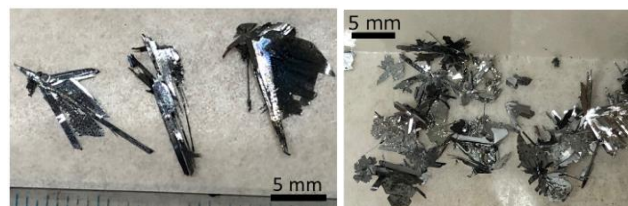


Fig. 3 Optical images of the  $\beta$ -MoTe<sub>2</sub> crystal grown by CVT using 50 mg Cl (left) and 50 mg (right) I as a transport agent.